

รอยโรคของกระดูกขากรรไกร: วิเคราะห์ผลการตรวจทางจุลพยาธิวิทยา ในผู้ป่วย 2,216 ราย ณ คณะทันตแพทยศาสตร์ มหาวิทยาลัยสงขลานครินทร์ ปี พ.ศ.2532-2550

สุพิศ จังพานิชย์

รองศาสตราจารย์ ภาควิชาโภชธรีวิทยา
คณะทันตแพทยศาสตร์ มหาวิทยาลัยสงขลานครินทร์
สุภาพ เกียรติพัทบัว
รองศาสตราจารย์ โครงการจัดตั้งคณะเทคโนโลยีการแพทย์
มหาวิทยาลัยสงขลานครินทร์

อัจฉรา สุขบุญ

นักวิทยาศาสตร์ ภาควิชาโภชธรีวิทยา
คณะทันตแพทยศาสตร์ มหาวิทยาลัยสงขลานครินทร์

ติดต่อเรื่องกับบทความ:

รองศาสตราจารย์ทันตแพทย์หญิงสุพิศ จังพานิชย์
ภาควิชาโภชธรีวิทยา
คณะทันตแพทยศาสตร์ มหาวิทยาลัยสงขลานครินทร์
อ.หาดใหญ่ ๙๗๖๐๑
โทรศัพท์: ๐๗๔-๒๘๗๕๘๑
โทรสาร: ๐๗๔-๔๒๙๘๗๘
อีเมล: supisc@hotmail.com

งานวิจัยนี้ได้รับทุนอุดหนุนการวิจัยจากเงินกองทุนวิจัย
คณะทันตแพทยศาสตร์ (DEN5027130346S) มหาวิทยาลัย
สงขลานครินทร์

บทคัดย่อ

รายงานการวิจัยนี้ เป็นการศึกษาวิเคราะห์ผลการตรวจทางจุลพยาธิวิทยาของรอยโรคกระดูกขากรรไกรที่ส่งมาตรวจ ณ ห้องปฏิบัติการจุลพยาธิวิทยาช่องปาก คณะทันตแพทยศาสตร์ มหาวิทยาลัยสงขลานครินทร์ ประเทศไทย ระหว่างตุลาคมปี พ.ศ.2532 ถึงมิถุนายนปี พ.ศ.2550 ตัวอย่างผู้ป่วยจำนวนทั้งหมด 2,216 ราย ได้ถูกนำมาตรวจวิเคราะห์ตามมาตรฐาน การให้การวินิจฉัยโรคที่ดัดแปลงมาจากองค์กรอนามัยโลกปี ค.ศ. 2005 รอยโรคทั้งหมดได้ถูกจำแนกออกเป็น 5 กลุ่ม คือ 1) กลุ่มรอยโรคถุงน้ำ 2) กลุ่มเนื้องอกโอดอนโนทีเจนิก 3) กลุ่มรอยโรคคล้ายเนื้องอก 4) กลุ่มเนื้องอกนอนโนทีเจนิก และ 5) กลุ่มรอยโรคหลักหลายประเภท รอยโรคส่วนใหญ่วัยอยู่ 50.32 อยู่ในกลุ่มรอยโรคถุงน้ำ ถัดมาวัยอยู่ 24.81 อยู่ในกลุ่มนี้เนื้องอกโอดอนโนทีเจนิก ร้อยละ 7.90 อยู่ในกลุ่มรอยโรคคล้ายเนื้องอก ร้อยละ 3.92 อยู่ในกลุ่มนี้เนื้องอกนอนโนทีเจนิก และร้อยละ 13.05 อยู่ในกลุ่มรอยโรคหลักหลายประเภท รอยโรคถุงน้ำที่พบบ่อยที่สุด 3 อันดับแรก ได้แก่ ถุงน้ำชนิดแพรดิคิวลาร์ (ร้อยละ 57.31) ถุงน้ำชนิดเดนทิเจรัส (ร้อยละ 19.55) และถุงน้ำชนิดรีซิคิวลด์ (ร้อยละ 4.48) ในกลุ่มนี้เนื้องอกโอดอนโนทีเจนิก รอยโรคที่พบบ่อยที่สุด คือ เนื้องอกจะมี lobula ตาม (ร้อยละ 47.27) ถัดมาเป็นเนื้องอก เคราโนไซติกโอดอนโนทีเจนิก (ร้อยละ 23.64) และเนื้องอกโอดอนโนโนมา (ร้อยละ 14.00) ในกลุ่มนี้เนื้องอกนอนโนทีเจนิก พับเป็นมะเร็งสูงถึงร้อยละ 75.86 มะเร็งที่พับบอยที่สุด ได้แก่ น่อน-ยอดคิลลิมโพมา (ร้อยละ 25.29) ออกซิโซ Zarco โนมา (ร้อยละ 12.64) และมัลติเพลเมย์โนโนมา (ร้อยละ 6.89) คาดว่าจะเป็นมะเร็งและกระบวนการที่กระดูกขากรรไกรพบมากที่สุด คือ ต่อมไทรอยด์และเต้านม ในกรณีที่กระดูกขากรรไกรที่สุดของกระดูกขากรรไกรพบมากที่สุด คือ ต่อมไทรอยด์และเต้านม ในกรณีที่กระดูกขากรรไกรที่สุดของกระดูกขากรรไกร คือ ถุงน้ำชนิดแพรดิคิวลาร์ (ร้อยละ 28.84) เนื้องอกจะมี lobula ตาม (ร้อยละ 11.73) และถุงน้ำชนิดเดนทิเจรัส (ร้อยละ 9.84) ข้อมูลรอยโรคกระดูกขากรรไกรจากผู้ป่วยคนไทยจำนวนมากในการศึกษานี้ คณะผู้วิจัยคาดว่าจะเป็นประ予以ชนสำหรับแพทย์และทันตแพทย์ทั่วไป ที่จะนำไปประยุกต์ใช้ในการปฏิบัติงานในคลินิกตรวจประจำวันของพากษา

บทนำ

กระดูกขากรรไกรมีลักษณะพิเศษบางประการที่ไม่เหมือนกระดูกที่อื่นทั่วไป กล่าวคือ ขากรรไกรเป็นกระดูกชนิดเมมเบรน (membranous bone) ซึ่งมีฟันและเนื้อเยื่อเกี่ยวกับการสร้างฟัน (odontogenic tissue) ฝังอยู่ในเนื้อกระดูก ทำให้มีโอกาสเกิดความผิดปกติหรือเกิด

รอยโรคได้ทั้งของเนื้อเยื่օกระดูกเอง และของเนื้อเยื่օที่เกี่ยวกับการสร้างฟัน โดยเฉพาะอยิ่งในกลุ่มนี้ของอกที่พับในกระดูกขากรรไกร จะพบได้ทั้งกลุ่มนี้ของอกที่มีเซลล์ต้นกำเนิดมาจากเนื้อเยื่օเกี่ยวกับการสร้างฟัน คือ เนื้องอกโดยดอนโภเจนิก (odontogenic tumour) และเนื้องอกที่เกิดจากเนื้อเยื่օของกระดูกเอง คือ เนื้องอกบนโอดอน-โภเจนิก (non-odontogenic tumour) รวมทั้งกลุ่มรอยโรคตามที่กระจาบมาจากการที่เป็น (metastatic tumours) รอยโรคที่พับในกระดูกขากรรไกร แบ่งได้เป็นหลายประเภทตามลักษณะความผิดปกติทางพยาธิ-วิทยา (pathological process) ได้แก่ รอยโรคถุงน้ำ (cystic lesions) รอยโรคเนื้องอก (neoplastic lesions) และรอยโรคคล้ายเนื้องอก (tumour-like lesions) ซึ่งในกลุ่มนี้อาจจะแบ่งเป็นกลุ่มย่อยตามลักษณะทางจุลพยาธิทยาของรอยโรคที่คล้ายกัน เช่น กลุ่มรอยโรคบีบในไฟบรอโอโซสเซียล (benign fibro-osseous lesions) และกลุ่มรอยโรคไจแอนท์เซลล์ (giant cell lesions) เป็นต้น นอกจากนี้ยังมีรอยโรคอักเสบ (inflammatory jaw lesions) และรอยโรคความผิดปกติทางเมตาโบลิซึมและพันธุกรรมของกระดูกขากรรไกร (metabolic and genetic diseases of the jaws)¹ ซึ่งในการศึกษานี้จะรวมกันอยู่ในกลุ่มรอยโรคหลากหลายประเภท (miscellaneous lesions)

เนื่องจากความซับซ้อนดังกล่าวข้างต้นทำให้การตรวจวินิจฉัยรอยโรคกระดูกขากรรไกรของผู้ป่วยในคลินิกตรวจ ยังเป็นปัญหาสำคัญของทันตแพทย์ทั่วไป ดังนั้นข้อมูลและความรู้เกี่ยวกับชนิด ประเภทและความถี่ หรือโอกาสที่พบรอยโรคกระดูกขากรรไกร ชนิดต่าง ๆ ในผู้ป่วยคนไทย จะมีประโยชน์สำหรับทันตแพทย์และแพทย์ทั่วไปที่จะนำมาประยุกต์ใช้เพื่อการให้การตรวจวินิจฉัยรอยโรคของกระดูกขากรรไกรได้อย่างถูกต้อง และเพื่อประโยชน์ในการวางแผนรักษาอย่างมีประสิทธิภาพต่อไป

การศึกษานี้มีวัตถุประสงค์เพื่อวิเคราะห์หาอุบัติการณ์สมพันธ์ (relative incidence) ของรอยโรคแต่ละประเภท และแต่ละรอยโรคที่พับในกระดูกขากรรไกรของผู้ป่วยคนไทย ซึ่งข้อมูลพื้นฐานนี้สามารถนำไปใช้เป็นประโยชน์ในการตรวจวินิจฉัยรอยโรคกระดูกขากรรไกรของผู้ป่วยในคลินิกตรวจ และสามารถใช้เป็นตัวเลขอ้างอิงสำหรับคนไทยต่อไป

วัสดุอุปกรณ์และวิธีการ

การศึกษานี้เป็นการศึกษาข้อมูลหลัง (retrospective study) กลุ่มตัวอย่างได้จากการสืบค้นข้อมูลในแฟ้มรายงานผลการตรวจวินิจฉัยทางจุลพยาธิทยาของผู้ป่วย (histopathological reports) ณ ห้องปฏิบัติการจุลพยาธิทยาช่องปาก ภาควิชาโภชธร์วิทยา คณะ

ทันตแพทยศาสตร์ มหาวิทยาลัยสงขลานครินทร์ ระหว่างเดือนตุลาคม พ.ศ.2532 ถึงเดือนมิถุนายน พ.ศ.2550

วิธีการรวบรวมข้อมูล ทำโดยบันทึกข้อมูลจากใบรายงานผลการตรวจวินิจฉัยทางจุลพยาธิทยาลงในแบบฟอร์มเก็บข้อมูล ข้อมูลที่ลงบันทึก คือ เลขประจำตัวชิ้นเนื้อ (pathological number) เลขประจำตัวผู้ป่วย (hospital number) ชื่อ อายุ เพศ ตำแหน่ง ของชิ้นเนื้อ การวินิจฉัยทางคลินิกผลการวินิจฉัยทางจุลพยาธิทยา (histopathological diagnosis) และประเภทของเนื้อเยื่օ โดยแบ่งประเภทของเนื้อเยื่օออกเป็น 5 ประเภท คือ กระดูกขากรรไกร เยื่อเมือก (mucosa) เนื้อเยื่օอ่อน (soft tissue) ต่อมน้ำลาย และพื้นจากนั้นนำข้อมูลในแบบฟอร์มไปป้อนเข้าคอมพิวเตอร์โดยใช้โปรแกรมไมโครซอฟท์แอค塞ส (Microsoft Office Access, 2002) การป้อนข้อมูลโดยป้อนเรียงลำดับตามเลขประจำตัวชิ้นเนื้อที่ถูกส่งมาตรวจตั้งแต่ เดือนตุลาคม พ.ศ.2532 ถึงเดือนมิถุนายน พ.ศ.2550

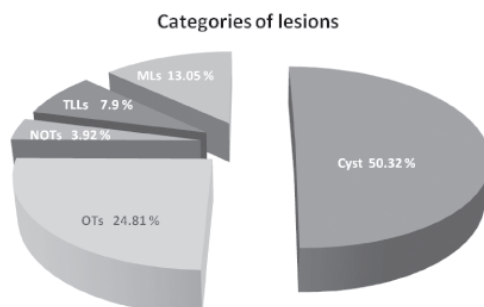
รายงานการวินิจฉัยนี้ตัวอย่างชิ้นเนื้อที่นำมาวิเคราะห์เป็นเฉพาะตัวอย่างชิ้นเนื้อที่บริเวณรอยโรคในกระดูกขากรรไกร (jaw bone lesions) เท่านั้น โดยดึงข้อมูลจากฐานข้อมูลในไมโครซอฟท์-แอค塞ส (Microsoft Office Access) เอกสารรหัสกระดูกขากรรไกร ส่งไปสู่โปรแกรมไมโครซอฟท์เอ็กเซล (Microsoft Office Excel, 2002) เพื่อพิมพ์รายงานข้อมูลผู้ป่วยในแต่ละรอยโรค หลังจากนั้นมีการตรวจทานซ้ำและตามผลการวินิจฉัยทางจุลพยาธิทยาผู้ป่วยที่ได้รับการวินิจฉัยรอยโรคเดียวกันจากการตัดชิ้นเนื้อมาตรวจหลายครั้ง คือเมื่อเลขประจำตัวชิ้นเนื้อหายหายเลข ให้นับเป็นหนึ่งรอยโรค หรือหนึ่งราย สำหรับตัวอย่างชิ้นเนื้อที่ไม่สามารถให้การวินิจฉัยที่ถูกต้องแน่นอนได้ เนื่องจากชิ้นเนื้อมีขนาดเล็ก หรือตัดไม่คลุมถึงรอยโรค หรือการตีรังสีสภาพเนื้อเยื่օไม่ถูกต้อง หรือขาดข้อมูลทางคลินิก ได้ถูกคัดออกจากการศึกษานี้ทั้งนี้เพื่อให้ได้ข้อมูลที่มีความถูกต้องแม่นยำที่สุด

การวิเคราะห์ข้อมูล รอยโรคกระดูกขากรรไกรที่สืบคันมาเนี้ย ถูกนำมาตรวจวิเคราะห์และจำแนกรอยโรคตามมาตรฐานการให้การวินิจฉัยโรคที่ดัดแปลงมาจากองค์การอนามัยโลก ปี ค.ศ.2005² โดยจำแนกออกเป็น 5 กลุ่ม คือ (1) กลุ่มรอยโรคถุงน้ำ (2) กลุ่มนี้องอกโดยดอนโภเจนิก (3) กลุ่มนี้องอกบนโอดอน-โภเจนิก (4) กลุ่มรอยโรคคล้ายเนื้องอก และ (5) กลุ่มรอยโรคหลากหลายประเภท กลุ่มสุดท้ายนี้เป็นกลุ่มที่รวมรอยโรคที่เหลือที่ไม่สามารถจัดเข้าไปในกลุ่มใด ๆ ได้ใน 4 กลุ่มแรก สำหรับกลุ่มรอยโรคคล้ายเนื้องอก ได้แบ่งย่อยออกเป็น 3 กลุ่ม คือ กลุ่มย่อยรอยโรคบีบในไฟบรอ-โอ索สเซียล ซึ่งรวมเนื้องอกอ้อสซิไฟอิ๊ฟโรมา (ossifying fibroma) ด้วย กลุ่มย่อยรอยโรคไจแอนท์เซลล์ ซึ่งรวมเนื้องอกไจแอนท์เซลล์ (giant cell tumour) ด้วย และกลุ่มย่อยรอยโรคอื่น ๆ (other lesions)

โดยการแสดงผลของรอยโรคหรือประเพทของรอยโรค แสดงเป็นจำนวนผู้ป่วย และคำนวณเป็นร้อยละของแต่ละกลุ่มรอยโรค และของรอยโรคกระดูกขากรรไกรทั้งหมด

ผล

ตัวอย่างขั้นเนื้อที่ถูกส่งมาตรวจ ณ ห้องปฏิบัติการจุลพยาธิ-วิทยาชั้นปาก ภาควิชาโภชสูติไทย มหาวิทยาลัยสงขลานครินทร์ ระหว่างเดือนตุลาคม พ.ศ.2532 ถึงมิถุนายน พ.ศ.2550 ทั้งหมด มีจำนวน 5,484 ตัวอย่าง เป็นตัวอย่างขั้นเนื้อที่ตัดมาจากรอยโรค ในกระดูกขากรรไกร จำนวน 2,832 ตัวอย่าง ซึ่งเป็นตัวอย่างขั้นเนื้อ ของผู้ป่วยอายุตั้งแต่ 1-99 ปี จากผู้ป่วยหญิง 1,432 ราย และผู้ป่วยชาย 1,400 ราย ผู้ป่วยที่มีรอยโรคของกระดูกขากรรไกรที่มีข้อมูลทางคลินิกเพียงพอที่จะให้การวินิจฉัยโรคทางจุลพยาธิไทยได้แน่นอน และนำมาวิเคราะห์ในภาคศึกษาครั้งนี้มีเพียง 2,216 ราย โดยได้จัดจำแนกประเภทของรอยโรคออกเป็น 5 กลุ่ม ผลการศึกษาพบว่ากลุ่มรอยโรคคุณน้ำพบมากที่สุด (ร้อยละ 50.32) ถัดมาเป็นกลุ่มน้ำองอกโอดอนโนเจนิก (ร้อยละ 24.81) และกลุ่มรอยโรคคล้ายเนื้องอก (ร้อยละ 7.90) ตามลำดับ (รูปที่ 1)



รูปที่ 1 ประเภทของรอยโรคที่พบในกระดูกขากรรไกรคนไทย

- Cyst = กลุ่มรอยโรคคุณน้ำ (50.32%)
- OTs = กลุ่มน้ำองอกโอดอนโนเจนิก (24.81%)
- NOTs = กลุ่มน้ำองอกนอกโอดอนโนเจนิก (3.92%)
- TLLs = กลุ่มรอยโรคคล้ายเนื้องอก (7.9%)
- MLs = กลุ่มรอยโรคหลักหลายประเพท (13.05%)

Fig. 1 Categories of lesions found in the jawbones of Thai people

- Cyst = Cysts (50.32%)
- OTs = Odontogenic tumours (24.81%)
- NOTs = Non-odontogenic tumours (3.92%)
- TLLs = Tumour-like lesions (7.9%)
- MLs = Miscellaneous lesions (13.05%)

ถุงน้ำซินิดแรดิคิวลาดาร์ (radicular cyst) เป็นถุงน้ำที่พบบ่อยที่สุดของกลุ่มรอยโรคคุณน้ำ (ร้อยละ 57.31) (ตารางที่ 1) และพบบ่อยที่สุดในกลุ่มถุงน้ำที่มีจุดกำเนิดจากฟัน รวมทั้งเป็นรอยโรคที่

พบบ่อยเป็นอันดับที่หนึ่งของรอยโรคกระดูกขากรรไกรทั้งหมด (ร้อยละ 28.84) (ตารางที่ 6) สำหรับถุงน้ำซินิดที่ไม่มีจุดกำเนิดจากฟัน (non-odontogenic cyst) ที่พบบ่อยที่สุดคือ ถุงน้ำซินิดนาสพาเลทีนดักท์ (nasopalatine duct cyst) (ตารางที่ 1) และถุงน้ำซินิดน้ำพับบอยเป็นอันดับที่ 9 ของรอยโรคกระดูกขากรรไกรทั้งหมด (ตารางที่ 6)

ร้อยละ 99.82 ของกลุ่มน้ำองอกโอดอนโนเจนิกพบเป็นชนิดไม่ร้ายแรง (benign lesions) ในขณะที่ชนิดร้ายแรงพบน้อยมาก (ร้อยละ 0.18) และน้ำองอกอะมีโลบลัสตومา (ameloblastoma) เป็นน้ำองอกที่พบบ่อยที่สุด (ร้อยละ 47.27) (ตารางที่ 2) ในกลุ่มน้ำองอก non-odontogenic tumours) ใหญ่ถึงร้อยละ 57.47 ในขณะที่ชนิดไม่ร้ายแรง (benign non-odontogenic tumours) พบร้อยร้อยละ 24.14 (ตารางที่ 3) nond hodgkin lymphoma (non-Hodgkin lymphoma) เป็นมะเร็งที่พบบ่อยที่สุดของกลุ่มมะเร็ง (ร้อยละ 25.29) รองลงมาได้แก่ օอสทิโอชาร์โคมา (osteosarcoma) (ร้อยละ 12.64) และมัลติเพลเมยอลิโนมา (multiple myeloma) (ร้อยละ 6.895) ซึ่งพบได้เท่ากันกับมะเร็งสแควร์แมสเซลล์ (squamous cell carcinoma) (ร้อยละ 6.895) ตามลำดับ มะเร็งที่กระจายมาจากท่อน้ำท่อที่อื่นที่พบบ่อยที่สุด คือ มะเร็งต่อมໄทธรอยด์ มะเร็งเต้านม และอันดับที่เพอร์เนซิโอเตด คารซิโนมา (undifferentiated carcinoma) (ตารางที่ 3)

รอยโรคส่วนใหญ่ที่แสดงในตารางที่ 5 เป็นรอยโรคที่มีสาเหตุมาจากขบวนการอักเสบหรือการติดเชื้อ เช่น เพอเริโอพิคอลแกรนูลoma (periapical granuloma) ไขกระดูกอักเสบ (osteomyelitis) กระดูกอักเสบ (osteitis) โพรงอากาศขากรรไกรบนอักเสบ (inflammation of maxillary sinus) และการติดเชื้อแบคทีเรียไมโคสิส (actinomycosis) และการติดเชื้อไวรัสไมโคสิส (mucomycosis) เป็นต้น

ตารางที่ 6 แสดงรอยโรคที่พบบ่อยสุดของกระดูกขากรรไกร 10 อันดับ ซึ่งได้แก่ ถุงน้ำซินิดแรดิคิวลาดาร์ (ร้อยละ 28.84) เนื้องอกอะมีโลบลัสตومา (ร้อยละ 11.73) ถุงน้ำซินิดเดนทิเจรัส (dentigerous cyst) (ร้อยละ 9.84) เนื้องอกเคราโทไซสติกโอดอนโนเจนิก (keratocystic odontogenic tumour) (ร้อยละ 5.86) เพอเริโอพิคอลแกรนูลoma (ร้อยละ 3.70) เนื้องอกโอดอนโนเจนิก (odontoma) (ร้อยละ 3.47) ไขกระดูกอักเสบ (ร้อยละ 3.20) ถุงน้ำซินิดรีซิวัล (residual cyst) (ร้อยละ 2.25) ถุงน้ำซินิดนาสพาเลทีนดักท์ (nasopalatine duct cyst) (ร้อยละ 1.99) และเดนทอลฟอลลิคิล (dental follicle) (ร้อยละ 1.95)

ตารางที่ 1 กลุ่มรอยโรคถุงน้ำของกระดูกขากรรไกร

Table 1 Cysts of the jawbones

Diagnosis	Number of cases	% of all jaw cysts	% of all jaw lesions
A : Odontogenic cysts	977	87.62	44.09
Radicular cyst	639	57.31	28.84
Dentigerous cyst	218	19.55	9.84
Residual cyst	50	4.48	2.25
Paradental cyst	40	3.59	1.80
Glandular odontogenic cyst	26	2.33	1.17
Eruption cyst	2	0.18	0.09
Botryoid odontogenic cyst	1	0.09	0.05
Buccal bifercation cyst	1	0.09	0.05
B : Non-odontogenic cysts	54	4.85	2.44
Nasopalatine duct cyst	44	3.95	1.99
Simple bone cyst	5	0.45	0.23
Postoperative maxillary cyst	3	0.27	0.14
Maxillary retention cyst	1	0.09	0.04
Nasolabial cyst	1	0.09	0.04
C : Unclassified odontogenic cysts	84	7.53	3.79
Total	1,115	100	50.32

ตารางที่ 2 กลุ่มน้ำองอกในกระดูกขากรรไกร

Table 2 Odontogenic tumours of the jawbones

Diagnosis	Number of cases	% of all odontogenictumours	% of all jaw lesions
A : Benign odontogenic tumours	549	99.82	24.77
Ameloblastoma	260	47.27	11.73
Keratocystic odontogenic tumour	130	23.64	5.86
Odontoma	77	14.00	3.47
Calcifying cystic odontogenic tumour	34	6.18	1.53
Adenomatoid odontogenic tumour	19	3.46	0.86
Cementoblastoma	11	2.00	0.50
Odontogenic myxofibroma	9	1.64	0.41
Odontogenic fibroma	7	1.27	0.32
Ameloblastic fibroma	2	0.36	0.09
B : Malignant odontogenic tumours	1	0.18	0.04
Primary intraosseous squamous cell carcinoma	1	0.18	0.04
Total	550	100	24.81

ตารางที่ 3 กลุ่มเนื้องอกนอนไม่ดัดตอนโพรงนิรภัยของกระดูกขากรรไกร

Table 3 Non-odontogenic tumours of the jawbones

Diagnosis	Number of cases	% of all NOTS	% of all jaw lesions
A : Benign non-odontogenic tumours	21	24.14	0.93
Osteoma	11	12.64	0.50
Desmoplastic fibroma	3	3.45	0.14
Chondroma	1	1.15	0.04
Central hemangioma	1	1.15	0.04
Benign mixed mesenchymal tumour	1	1.15	0.04
Hemangiopericytoma	2	2.30	0.09
Angiolipoma	1	1.15	0.04
Melanotic neuroectodermal tumour of infancy	1	1.15	0.04
B : Malignant non-odontogenic tumours	50	57.47	2.27
Non-Hodgkin's lymphoma	22	25.29	1.00
Osteosarcoma	11	12.64	0.50
Multiple myeloma	6	6.895	0.27
Squamous cell carcinoma	6	6.895	0.27
Intraosseous carcinoma of salivary gland	3	3.45	0.14
Malignant fibrous histiocytoma	2	2.30	0.09
C : Metastatic tumours to jawbones	14	16.09	0.63
Follicular carcinoma of thyroid gland	3	3.45	0.14
Carcinoma of breast	3	3.45	0.14
Undifferentiated carcinoma	3	3.45	0.14
Adenocarcinoma	2	2.30	0.09
Carcinoma of rectum	1	1.15	0.04
Carcinoma of cervix	1	1.15	0.04
Ewing sarcoma	1	1.15	0.04
D : Underdetermined malignant tumours	2	2.30	0.09
Primary VS Secondary tumour	2	2.30	0.09
Total	87	100	3.92

ตารางที่ 4 กลุ่มร้อยโรคคล้ายเนื้องอกของกระดูกขากรรไกร

Table 4 Tumour-like lesions of the jawbones

Diagnosis	Number of cases	% of tumor- like lesions	% of all Jaw lesions
A : Benign fibro - osseous lesions	133	76.00	6.00
Fibrous dysplasia	35	20.00	1.58
Ossifying fibroma	38	21.71	1.72
Osseous dysplasia	39	22.29	1.76
Florid osseous dysplasia (19)			
Periapical osseous dysplasia (5)			
Focal osseous dysplasia (15)			
Juvenile ossifying fibroma	6	3.43	0.27
Undetermined fibro-osseous lesions	15	8.57	0.67
B : Giant cell lesions	15	8.57	0.68
Aneurymal bone cyst	7	4.00	0.32
Central giant cell granuloma	3	1.71	0.14
Cherubism	3	1.71	0.14
Hyperparathyroidism (Brown tumour)	1	0.57	0.04
Giant cell tumour	1	0.57	0.04
C : Other lesions	27	15.43	1.22
Langerhans cell diseases	9	5.14	0.41
Hyperplastic dental follicle	18	10.29	0.81
Total	175	100	7.90

ตารางที่ 5 กลุ่มรอยโรคหลักหลายประนีกของกระดูกขากรรไกร

Table 5 *Miscellaneous lesions of the jawbones*

Diagnosis	Number of cases	% of all jaw lesions
Periapical granuloma	82	3.70
Osteomyelitis	71	3.20
Dental follicle	43	1.95
Necrotic bone	24	1.08
Exostoses	15	0.68
Normal bone tissue	12	0.54
Torous palatinus (7) & mandibularis (3)	10	0.45
Actinomycosis	9	0.41
Inflammation of maxillary sinus	7	0.32
Osteitis	7	0.32
Osteosclerosis	4	0.18
Wall of periodontal pocket	3	0.14
Mucomycosis	1	0.04
Osteoarthritis	1	0.04
Total	289	13.05

ตารางที่ 6 รอยโรคของกระดูกขากรรไกรที่พบบ่อยสุด 10 อันดับ

Table 6 *The 10 most commonly diagnosed jawbone lesions*

Diagnosis	Number of cases	% of all jaw lesions
Radicular cyst	639	28.84
Ameloblastoma	260	11.73
Dentigerous cyst	218	9.84
Keratocystic odontogenic tumour	130	5.86
Periapical granuloma	82	3.70
Odontoma	77	3.47
Osteomyelitis	71	3.20
Residual cyst	50	2.25
Nasopalatine duct cyst	44	1.99
Dental follicle	43	1.95
Total	1,614	72.83

บทวิจารณ์

การศึกษาเกี่ยวกับร้อยโรคของกระดูกข้ากร้าวในคนไทย ยังมีน้อยมาก การศึกษานี้เป็นการวิเคราะห์ข้อมูลร้อยโรคของกระดูกข้ากร้าวจากผลการตรวจวินิจฉัยทางจุลพยาธิวิทยา ตัวอย่างผู้ป่วยที่นำมารวิเคราะห์ในการศึกษานี้ มีจำนวน 2,216 ราย จากการเก็บรวบรวมข้อมูลมาประมาณ 18 ปี (ปี พ.ศ.2532-2550) กลุ่มร้อยโรคที่พบบ่อยที่สุดคือ กลุ่มร้อยโรคถุงน้ำคิดเป็นร้อยละ 50.32 ของร้อยโรคกระดูกข้ากร้าวทั้งหมด รองลงมาได้แก่ กลุ่มเนื้องอกโอดอนไทด์คิดเป็นร้อยละ 24.81 (ตารางที่ 1 และ 2) ในกลุ่มร้อยโรคถุงน้ำของกระดูกข้ากร้าวพบว่าร้อยละ 57.31 เป็นถุงน้ำชนิดแพริดคิวลาร์ รองลงมาเป็นถุงน้ำชนิดเดนดิเจอรัส (ร้อยละ 19.55) (ตารางที่ 1) ซึ่งเหมือนกับรายงานที่ศึกษาในคนไทย³⁻⁵ และในชาวต่างประเทศ⁶⁻¹⁰

การศึกษานี้พบว่าถุงน้ำชนิดแพริดคิวลาร์เป็นร้อยโรคที่พบบ่อยที่สุด คือร้อยละ 28.84 (ตารางที่ 6) ของร้อยโรคกระดูกข้ากร้าวทั้งหมด ซึ่งเหมือนกับการศึกษาในคนไทยของวินัย ศรีจิต³ และรัฐพงษ์ วงศ์วัส⁴ ในขณะที่การศึกษาในสหรัฐอเมริกา¹¹ ในสิงคโปร์¹² และในสหราชอาณาจักร¹³ ซึ่งพบว่าเพอริโอพิคอล แกรนูโลมา เป็นร้อยโรคที่พบบ่อยที่สุดของร้อยโรคกระดูกข้ากร้าวทั้งหมด ตามธรรมชาติของร้อยโรคและการดำเนินของร้อยโรคถุงน้ำชนิดแพริดคิวลาร์ เป็นร้อยโรคที่เกิดต่อเนื่องมาจากเพอริโอพิคอลแกรนูโลมา ซึ่งอาจเป็นไปได้ว่าประชาชนในสหรัฐอเมริกา สิงคโปร์ และสหราชอาณาจักรอาจใช้ในสุขภาพซึ่งปากของตนเองมากกว่า คนไทยจึงไปพบทันตแพทย์ตั้งแต่เริ่มแรก และได้รับการรักษาโดยโรคเพอริโอพิคอลแกรนูโลมา ก่อนที่ร้อยโรคจะดำเนินต่อไปจนกลายเป็นถุงน้ำชนิดแพริดคิวลาร์ภายในหลัง

เนื่องจากของกระดูกข้ากร้าวที่พบบ่อยที่สุดที่มีการรายงานมาก่อน^{3-4,12-15} คือเนื้องอกกระดูกแบบไม่ lobular ตามมาซึ่งเหมือนกับการศึกษาครั้งนี้ เนื้องอกเคราโทซิสติกโอดอนไทด์คิวแลสเนื้องอกโอดอนที่มาเป็นเนื้องอกที่พบเป็นอันดับสองและสามตามลำดับ (ตารางที่ 2 และ 6) คล้ายกับการศึกษาในประเทศไทยของ Jing et al¹⁵ ที่จัดจำแนกประเภทของเนื้องอกตามมาตรฐานขององค์การอนามัยโลกปี ค.ศ.2005² เช่นเดียวกัน สำหรับการศึกษาก่อนหน้านี้ที่จัดจำแนกประเภทของเนื้องอกตามมาตรฐานขององค์การอนามัยโลกปี ค.ศ.1992¹⁶ นั้น สร้างใหญ่เนื้องอกโอดอนโดยมาจะพบบ่อยเป็นอันดับสอง^{3-4,12-14} ยกเว้นการศึกษาในประเทศไทย⁷ และในประเทศไทย¹⁷ ที่พบว่าเนื้องอกโอดอนโดยมาเป็นเนื้องอกที่พบบ่อยที่สุด แต่ในประเทศไทยนี้เรียก¹⁴ เนื้องอกโอดอนโดยมาพบเป็นอันดับหก

กลุ่มนี้ของกลุ่มนี้ของโอดอนไทด์คิวใน การศึกษานี้ พบร้อยละ 3.92 ของร้อยโรคกระดูกข้ากร้าวทั้งหมด และส่วนใหญ่ (ร้อยละ 75.86) ของกลุ่มนี้ของกลุ่มนี้ของโอดอนไทด์คิวเป็นเนื้องอกชนิดร้ายแรงหรือมะเร็ง (ตารางที่ 3) ในกลุ่มนี้มีมะเร็งที่พบบ่อยที่สุดคือ โนนออด์คิลลิมโฟมา (ร้อยละ 25.29) รองลงมาได้แก่ ออสทีโอซาร์โคมา (ร้อยละ 12.64) และมัลติเพลเมย์โอลิมา (multiple myeloma) (ร้อยละ 6.895) ซึ่งพบเท่ากันกับมะเร็งแคนเซลล์ (ร้อยละ 6.895) ตามลำดับ

มะเร็งโนนออด์คิลลิมโฟมาในการศึกษานี้พบร้อยละ 1.0 ของร้อยโรคกระดูกข้ากร้าวทั้งหมด และร้อยละ 90.9 (20 จาก 22 ราย) ของมะเร็งโนนออด์คิลลิมโฟมา พบรเป็นชนิดบี-เซลล์ (B-cell type) และที่เหลือร้อยละ 9.1 (2 จาก 22 ราย) เป็นชนิดที-เซลล์ (T-cell type) มะเร็งโนนออด์คิลลิมโฟมาในรายงานนี้ พบรเกิดขึ้นในกระดูกข้ากร้าว จึงจัดอยู่ในกลุ่มลิมโฟมานอกต่อมน้ำเหลือง (extranodal lymphoma) จากการศึกษามะเร็งลิมโฟมาในคนไทย¹⁸ พบรเป็นชนิดโนนออด์คิลลิมโฟมาร้อยละ 91.5 (389 จาก 425 ราย) ผู้ป่วยส่วนใหญ่ อายุ 60-70 ปี และส่วนใหญ่พบรเป็นชนิดดิฟฟิวส์เม็กซ์เซลล์ลิมโฟมา (diffuse large cell lymphoma) และชนิดดิฟฟิวส์เม็กซ์เซลล์ลิมโฟมา (diffuse mixed cell lymphoma) ประมาณร้อยละ 55.0 (214 จาก 389 ราย) เป็นลิมโฟนานอกต่อมน้ำเหลือง และร้อยละ 15.2 (59 จาก 389 ราย) พบรที่บีรีเวนระบบทางเดินหายใจและอาหารส่วนบน ผู้ป่วย 5 ราย อายุระหว่าง 21-27 ปี พบรมีการติดเชื้อเอชไอวีร่วมด้วย และ 3 จาก 5 ราย พบรเป็นชนิดสมอลล์-โนนคลีฟเซลล์ลิมโฟมา (small non-cleaved cell lymphoma) จากรายงานการศึกษารอยโรคในช่องปากของผู้ป่วยโรคเอดส์ในคนไทย¹⁹ พบร้อยละ 4.0 มีมะเร็งชนิดสมอลล์โนนคลีฟลิมโฟมารูปแบบเบอร์คิต (small non-cleaved cell lymphoma with Burkitt's pattern) ของช่องปากร่วมด้วย การศึกษาในรายงานครั้งนี้ พบรมะเร็งโนนออด์คิลลิมโฟมาชนิดบี-เซลล์ร้อยละ 40.0 (8 จาก 20 ราย) พบรมีการติดเชื้อเอชไอวีร่วมด้วย และผู้ป่วยมีอายุตั้งแต่ 3-68 ปี อายุเฉลี่ย 22.4 ปี ทั้ง 8 รายเป็นชนิดเบอร์คิตลิมโฟมา (Burkitt's lymphoma) อีกร้อยละ 60.0 (12 จาก 20 ราย) ไม่มีประวัติการติดเชื้อเอชไอวี พบรมีอายุตั้งแต่ 22-80 ปี อายุเฉลี่ย 62.16 ปี ส่วนใหญ่เป็นชนิดดิฟฟิวส์ลาร์จบีเซลล์ (diffuse large B cell) ผู้ป่วยในรายงานนี้จำนวนสามรายที่พบรมีการติดเชื้อเอชไอวีร่วมด้วยได้มีการตีพิมพ์รายงานผู้ป่วยไปแล้วเมื่อปี ค.ศ.1996 และ 1998²⁰⁻²¹

มะเร็งออสทีโอซาร์โคมาของกระดูกยานา (long bone) เช่นกระดูกขา พบรมากในช่วงอายุ 10-25 ปี²² ประมาณร้อยละ 10.0 พบรที่บีรีเวนศีรษะและลำคอ ส่วนใหญ่พบรที่ขากร้าวกล่าง มะเร็งที่พบในกระดูกข้ากร้าวมักพบในคนอายุมากกว่าที่พบในกระดูกยานา

20 ปี จากการศึกษาของ Fernandes et al²³ ในผู้ป่วยมะเร็งอสติ-โอซาร์ดีมาของกระดูกขากรรไกรจำนวน 16 ราย พbm อายุ 14-51 ปี อายุเฉลี่ย 41 ปี พบในผู้หญิงมากกว่าผู้ชายในอัตรา 1.6:1 และพบในขากรรไกรล่างมากกว่าขากรรไกรบน การศึกษาครั้งนี้ ผู้ป่วย 11 ราย มีอายุ 17-58 ปี อายุเฉลี่ย 37.90 ปี พบในผู้ชายมากกว่าผู้หญิง ในอัตรา 1.75:1 ร้อยละ 80.0 พบที่กระดูกขากรรไกรล่าง

มัลติเปลมัยอิโลมาเป็นมะเร็งชนิดปฐมภูมิที่พบบ่อยที่สุด ของกระดูก ส่วนใหญ่มีอายุระหว่าง 50-80 ปี²⁴ ในคนไทย ร้อยละ 96.5 พบในคนอายุมากกว่า 40 อายุเฉลี่ยในเพศชาย 56 ปี และในเพศหญิง 59 ปี²⁵ ใน การศึกษานี้มัลติเปลมัยอิโลมาเป็นมะเร็งที่พบเป็นอันดับสามของมะเร็งกระดูกขากรรไกร และพบร้อยละ 0.27 ของรอยโรคกระดูกขากรรไกรทั้งหมด ผู้ป่วยมีอายุ 25-92 ปี อายุเฉลี่ย 53.66 ปี พบเป็นเพศหญิง 5 ราย เป็นเพศชาย 1 ราย ผู้ป่วย 1 ใน 6 รายในการศึกษานี้ได้เคยติดพิมพ์รายงานผู้ป่วยมาแล้วเมื่อปี พ.ศ.2542²⁶

ร้อยละ 16.09 ของกลุ่มนี้ของอกนอนโดยอนโทเจนิก เป็นมะเร็งที่กระจายมาจากวัยหัวอื่น ซึ่งได้แก่ ต่อมไทรอยด์ เต้านม ลำไส้ ปากมดลูก และกระดูก (ตารางที่ 3) Hirshberg และคณานะ²⁷ รายงานมะเร็งที่กระจายมาที่กระดูกขากรรไกรจำนวน 390 ราย พบว่าในผู้หญิงเป็นมะเร็งที่มาจากการเต้านม ต่อมหมากไต ลำไส้ใหญ่ มดลูก และต่อมไทรอยด์ สำหรับในผู้ชายเป็นมะเร็งที่มาจากการต่อมลูกหมาก ไต กระดูก และต่อมหมากไต

ในกลุ่มรอยโรคคล้ายเนื้องอก (ตารางที่ 4) พบว่ากลุ่มย่อย รอยโรคไฟฟ์บรอสเซียส พบร้อยละ 76.0 และกลุ่มย่อยรอยโรคเจ-แอนท์เซลล์พบร้อยละ 8.57 รอยโรคที่น่าสนใจในการศึกษานี้คือ รอยโรคเชอรูบิسم (cherubism) พบว่าผู้ป่วย 2 ราย มีอายุมากกว่า 10 ปี (คืออายุ 19 ปี และ 23 ปี) ตามรายงานต่างประเทศ ผู้ป่วยส่วนใหญ่ปักพอยู่ในช่วงอายุ 6 เดือนถึง 7 ปี และมีน้อยมากที่พบในอายุมากกว่า 10 ปี²⁸ กลุ่มย่อยรอยโรคอื่น ๆ ที่พบในกลุ่มรอยโรคคล้ายเนื้องอก ได้แก่ โรคลงเกอร์ไฮน์เซลล์ (Langerhans cell diseases) การศึกษานี้พบมีผู้ป่วย 5 จาก 9 ราย พบเป็นชนิดเรื้อรัง เฉพาะที่ (chronic localized type or eosinophilic granuloma) ซึ่งผู้ป่วยมีช่วงอายุระหว่าง 19-39 ปี และพบ 3 จาก 9 ราย เป็นชนิดเฉียบพลันกระจายหล่ายทำแห่ง (acute disseminated type or Letterer Siwe diseases) ซึ่งผู้ป่วยมีอายุ 1 ปี - 29 เดือน สำหรับผู้ป่วยที่เหลืออีก 1 ราย อายุ 6 ปี หลังจากตรวจพบรอยโรคในกระดูกขากรรไกร ได้สังต่อผู้ป่วยไปพบแพทย์เฉพาะทางเพื่อตรวจร่างกายอย่างละเอียด แต่ผู้ป่วยขาดการติดต่อ ผู้ป่วย 6 จาก 9 รายในการศึกษานี้ได้เคยติดพิมพ์รายงานผู้ป่วยแล้วในปี พ.ศ.2540²⁹

กลุ่มรอยโรคหลักหลายประเภทของกระดูกขากรรไกร (ตารางที่ 5) รอยโรคส่วนใหญ่ในกลุ่มนี้ คือร้อยละ 62.28 เป็นรอยโรคที่เกี่ยวข้องกับกระบวนการอักเสบ ซึ่งได้แก่ เพอโรเดียลแกรนูลoma ไขกระดูกอักเสบ รอยโรคการติดเชื้อเอกสารโนไมโโคสิสและมิโโคโนไมโโคสิส โพรงอากาศของขากรรไกรบนอักเสบ กระดูกอักเสบ และการอักเสบของผนังร่องลึกบริทันต์ (wall of periodontal pocket)

พบว่ารอยโรคส่วนใหญ่ในการศึกษานี้ คือร้อยละ 72.83 (1,614 จาก 2,216 ราย) เป็นรอยโรคที่พบบ่อย 10 อันดับแรกของกระดูกขากรรไกร (ตารางที่ 6) และ 9 รอยโรคจาก 10 รอยโรค เป็นรอยโรคที่ความผิดปกติเกี่ยวข้องกับเนื้อเยื่อเกี่ยวกับการสร้างพันธุ์ ซึ่งรอยโรคเหล่านี้จะไม่พบในกระดูกอื่น ๆ

บทสรุป

รายงานการศึกษานี้ เป็นการศึกษาข้อมูลวิเคราะห์ผลการตรวจวินิจฉัยทางจุลพยาธิวิทยารอยโรคกระดูกขากรรไกรของผู้ป่วยคนไทยที่ส่งมาตรวจ ณ ห้องปฏิบัติการจุลพยาธิวิทยาของปากคณะทันตแพทยศาสตร์ มหาวิทยาลัยสงขลานครินทร์ เป็นระยะเวลา 18 ปี (ปี พ.ศ.2532-2550) จำนวนทั้งหมด 2,216 ราย รอยโรคส่วนใหญ่ร้อยละ 68.90 เกิดจากความผิดปกติของเนื้อเยื่อเกี่ยวกับการสร้างพันธุ์ ซึ่งได้แก่ รอยโรคถุงน้ำไออดอนโทเจนิก (ร้อยละ 44.09) และเนื้องอกไออดอนโทเจนิก (ร้อยละ 24.81) ใน การศึกษานี้ พบว่า รอยโรคที่พบบ่อยที่สุดของกระดูกขากรรไกรในคนไทย คือ รอยโรคถุงน้ำซี่นิดเดรดีคิวลาร์ รองลงมาคือเนื้องอกอะมีโลบลัสตوم่า รอยโรคถุงน้ำซี่นิดเดนทิเจรัส เนื้องอกเคราโทซิสติกไออดอนโทเจนิก และเพอโรเดียลแกรนูลoma ตามลำดับ

กิตติกรรมประกาศ

งานวิจัยนี้ได้รับเงินสนับสนุนทุนจากกองทุนวิจัยคณะทันตแพทยศาสตร์ มหาวิทยาลัยสงขลานครินทร์ (DEN5027130346S) คณะวิจัยขอขอบคุณ ศ.นพ. วิญญา มิตราวนันท์ ที่ให้คำปรึกษา การวินิจฉัยโรคผู้ป่วยที่มีปัญหา ตลอดจนให้ความอนุเคราะห์ การศึกษาทางอิมมูโนฮิสโตเคมีของรอยโรคมะเร็งลิมโฟมา

เอกสารอ้างอิง

1. Regezi JA, Sciubba J. Oral Pathology. Clinical-Pathologic Correlations. Second edition., W.B. Saunders Company, Philadelphia. 1993.
2. Barnes L, Eveson JW , Reichart P, Sidransky D. World Health Organization Classification of Tumours: Pathology and Genetics of Head and Neck Tumours. IARC Press, Lyon 2005 p. 284–327.
3. วินัย ศิริจิตร: การวิเคราะห์โรคในช่องปากจากผลการตรวจชิ้นเนื้อในภาควิชาทันตแพทย์อิหราย คณะทันตแพทยศาสตร์ จุฬาลงกรณ์มหาวิทยาลัย. ว.ทันต จุฬาฯ 2522;2:133-146.
4. รัฐพงษ์ วรวงศ์สุ. การเบรี่ยบเทียบอัตราที่เกิดขึ้นของโรคในช่องปากจากผลการตรวจชิ้นเนื้อในภาควิชาทันตแพทย์อิหรายคณะทันตแพทยศาสตร์ มหาวิทยาลัยมหิดล. ว.ทันต มหิดล 2543; 20:21-30.
5. Chungpanich S. Cysts of the Jaws: Analysis of 419 cases. *J Dent Assoc Thai* 1998;48:312-321.
6. Jones AV, Craig GT, Franklin CD. Range and demographics of odontogenic cysts diagnosed in a UK population over a 30-year period. *J Oral Pathol Med* 2006;35:500-7.
7. Daley TD, Wysocki GP, Pringle GA. Relative incidence of odontogenic tumors and oral and jaw cysts in a Canadian population. *Oral Surg Oral Med Oral Pathol* 1994;77:276-80.
8. Nakamura T, Ishida J, Nakano Y, Ishii T, Fukumoto M, Izumi H, et al. A study of cysts in the oral region. Cysts of the jaw. *J Nihon Univ Sch Den* 1995;37:33-40.
9. Bataineh AB, Rawashdeh MA, Al Qudah MA. The prevalence of inflammatory and developmental odontogenic cysts in a Jordanian population: a clinicopathologic study. *Quintessence Int* 2004;35:815-9.
10. Tortorici S, Amodio E, Massenti MF, Buzzanca ML, Burruano F, Vitale F. Prevalence and distribution of odontogenic cysts in Sicily: 1986–2005. *J Oral Sci* 2008;50:15-8.
11. Weir JC, Davenport WD, Skinner RL. A diagnostic and epidemiologic survey of 15,783 oral lesions. *J Am Dent Assoc* 1987;115:439-42.
12. Tay AB. A 5-year survey of oral biopsies in an oral surgical unit in Singapore: 1993-1997. *Ann Acad Med Singapore* 1999;28:665-71.
13. Jones AV, Franklin CD. An analysis of oral and maxillofacial pathology found in adults over a 30-year period. *J Oral Pathol Med* 2006;35:392-401.
14. Ladeinde AL, Ajayi OF, Ogunlewe MO, Adeyemo WL, Arotiba GT, Bambose BO, et al. Odontogenic tumors: a review of 319 cases in a Nigerian teaching hospital. *Oral Surg Oral Med Oral Pathol Oral Radiol Endod* 2005;99:191-5.
15. Jing W, Xuan M, Lin Y, Wu L, Liu L, Zheng X, et al. Odontogenic tumours: a retrospective study of 1642 cases in a Chinese population. *Int J Oral Maxillofac Surg* 2007;65:875–82.
16. Kramer IR, Pindborg JJ, Shear M. Histological typing of Odontogenic Tumours, 2nd edition. Geneva: World Health Organization. 1992
17. Santos JN, Pinto LP, Figueiredo CR, de Souza LB. Odontogenic tumors: analysis of 127 cases. *Pesqui Odontol Bras* 2001;15:308-33.
18. Sukpanichnant S, Sonakul D, Piankijagum A, Wanachiwanawin W, Veerakul G, Mahasandana C, et al. Malignant Lymphoma in Thailand: changes in the frequency of malignant lymphoma determined from a histopathologic and immunophenotypic analysis of 425 cases at Siriraj Hospital. *Cancer* 1998;83:1197-204.
19. Nittayananta W, Chungpanich S. Oral lesions in a group of Thai people with AIDS. *Oral Dis* 1997;3 Suppl 1:S41-5.
20. Nittayananta W, Chungpanich S, Pongpanich S, Mitarnun W. AIDS-related non-Hodgkin's lymphoma presenting as delayed healing of an extraction wound. *Br Dent J* 1996;181:102-4.
21. Nittayananta W, Apinawatavorngul S, Chungpanich S, Pongpanich S, Kietthubthew S. Burkitt-like lymphoma presenting as a periodontal disease in AIDS patients: a report of two cases. *Oral Dis* 1998;4:281-4.
22. หัชชา ศรีปลัง. Bone and joint. ในวิกิพุณ มิตราณัณฑ์ พยาธิวิทยา กายวิภาค. พิมพ์ครั้งที่ 1. กรุงเทพฯ: ไอ เอส พ्रินติ้ง เยลส์; 2538 หน้า 743.
23. Fernandes R, Nikitakis NG, Pazoki A, Ord RA. Osteogenic sarcoma of the jaw: a 10-year experience. *J Oral Maxillofac Surg* 2007;65:1286-91.
24. Fechner R E, Mills S E. Tumors of the bones and joints. Armed Forces Institute of Pathology, Washington, D.C.; 1993. p. 215.
25. Jootar S, Chouriagune C, Pravalpreukhgul V. Multiple myeloma: Review of 62 cases. *Intern Med* 1986;2:217-220.
26. Chungpanich S, Kumplanont P, Apinawatwornkul S, Mitarnun W. Maxillary expansion as initial sign of multiple myeloma: a 7 year follow -up case. *J Dent Assoc Thai* 1999;49:182-188.
27. Hirshberg A, Leibovich P, Buchner A. Metastatic tumors to the jawbones: analysis of 390 cases. *J Oral Pathol Med* 1994; 23:337-41.
28. Cawson RA, Binnie WH, Speight P. Lucas's Pathology of Tumors of the Oral Tissues. 5th edition. Churchill Livingstone, London. 1998. p. 103.
29. Chungpanich S, Kietthubthew S, Akkayanont P, et al. Langerhans' cell histiocytosis of the oral region: Report of 6 cases. *J Dent Assoc Thai* 1997;47:260-6.

Original Article

Lesions of the Jaws: A Pathological Review of 2,216 Cases at Faculty of Dentistry, Prince of Songkla University between 1989-2007

Supis Chungpanich

Associate Professor

Department of Stomatology, Faculty of Dentistry
Prince of Songkla University

Suparp Kietthubthew

Associate Professor

Faculty of Medical Technology Establishment Project
Prince of Songkla University

Angkana Sukboon

Scientist

Department of Stomatology, Faculty of Dentistry
Prince of Songkla University

Correspondence to:

Associate Professor Dr. Supis Chungpanich

Department of Stomatology

Faculty of Dentistry, Prince of Songkla University

Hatyai, Songkla 90112

Tel: 074-287581

Fax: 074-429878

E-mail: supisc@hotmail.com

This project was supported by Faculty of Dentistry Research Fund (DEN5027130346S), Prince of Songkla University

Abstract

This article reports an analysis of histopathological diagnoses of a series of jawbone lesions retrieved from files in the Oral Pathology Unit at the Faculty of Dentistry, Prince of Songkla University, Thailand between October 1989 and June 2007. A total of 2,216 cases of jaw bone lesions were reviewed. Modification in diagnosis was adapted according to WHO classification 2005. The lesions were divided into five categories: 1) Cystic lesions, 2) Odontogenic tumours (OTs), 3) Tumour-like lesions (TLLs) 4) Non-odontogenic tumours (NOTs), and 5) Miscellaneous lesions (MLs). The majority (50.32%) of the lesions were cystic lesions. There were 24.81% OTs, 7.90% TLLs, 3.92% NOTs, and 13.05% MLs. The three most commonly diagnosed jawbone cysts were radicular cysts (57.31%), dentigerous cysts (19.55%), and residual cysts (4.48%). Among the OTs, ameloblastoma (47.27%), keratocystic odontogenic tumours (23.64%), and odontoma (14.00%) were predominant. In the NOTs, it constituted 75.86% malignant lesions with non-Hodgkin's lymphoma (25.29%), osteosarcoma (12.64%) and multiple myeloma (6.89%) dominated the group. The major primary sites of metastatic tumours to the jawbone were thyroid gland and breast. In this study, radicular cysts (28.84%), ameloblastoma (11.73%) and dentigerous cysts (9.84%) were the three most common jawbone lesions. This report of a large number of jawbone lesions of Thais would be helpful for physicians and general dental practitioners in their daily practices.

Key words: jaw bone lesions; non-odontogenic tumours; odontogenic tumours and cysts; Tumour-like lesions of the jaws.